

Segmentação de imagem com KMeans no processo de automatização de análise de viabilidade celular

1. Introdução

O teste Live/Dead de viabilidade celular é baseado no princípio de permeabilidade da membrana. É muito usado para identificar a potencialidade de dano celular frente a diferentes formulações. Para quantificar as células vivas e mortas devemos separar as células de outros “ruídos” na imagem. No caso em questão pode ser considerado ruído: sujeira do ambiente, material usado para armazenamento da célula entre outros. Depois é quantificar as células totais, depois as mortas, marcadas com um reagente para mudar sua cor na imagem, assim temos a quantidade de células vivas e mortas. O cálculo de viabilidade celular se dá, portanto, através do quociente de células vivas pelas células totais multiplicado por 100.

Existem softwares que fazem o trabalho de quantificar as células em amostras porém são inviáveis para o nosso caso, pois o trabalho para contagem de células é muito grande para uma única imagem e como a pesquisa científica é no sentido de desenvolver uma plataforma para que de uma única vez seja possível testar várias culturas de células, podemos ter dezenas e até centenas de culturas de células em um único experimento. O que torna o trabalho manual cansativo, estressante e suscetível a erros, já que é necessário fazer o *upload* de cada imagem de forma individualizada, identificar as áreas da imagem que não são de interesse, como impurezas, selecionar as áreas a serem analisadas e então realizar o comando de contagem.

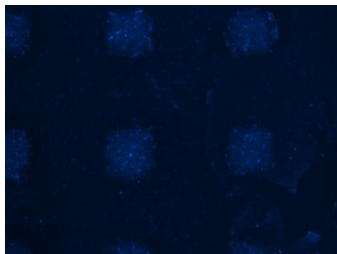
Diante do exposto, foi definido como objetivo a automatização da tarefa, usando KMeans no processo para encontrar de forma automática os microambientes.

2. Dataset

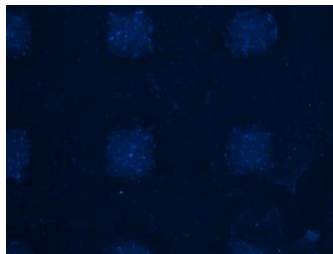
O conjunto de dados consiste em 189 imagens que são recortes, de alta definição, da imagem [a], tiradas pelo microscópio e serão usadas para o treinamento do nosso algoritmo. Temos 3 grupos de imagens para cada quadrante. Tomando como exemplo o quadrante Area_1_9 temos uma imagem Area_1_9.tiff [c] que é a foto das células vivas e mortas com destaque do reagente que marca as células mortas, Area1_9_DAPI.tiff [b] que é a foto das células vivas e mortas sem o destaque do reagente e a imagem Area1_9_GFP.tiff [d] que é a foto somente das células que foram marcadas pelo reagente que identifica as células mortas.



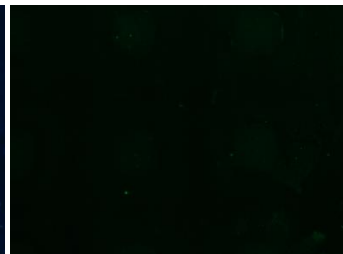
a - Foto Inteira tirada pelo microscópio.



b – Area1_9_DAPI.tiff



c – Area1_9.tiff



d - Area1_9_GFP.tiff

3. Metodologia

Nosso primeiro passo será identificar os microambientes usando o KMeans. Para isso vamos usar as imagens do grupo [c] Area_1_x.tiff por ter os microambientes bem definidos.

É sabido que ao trabalhar com imagem, recomenda-se reduzir a dimensão para ganhar em processamento. Partindo dessa premissa trabalhamos com a imagem normal e redimensionadas em 50% e 25%.

A métrica usada para avaliar o desempenho do algoritmo é a quantidade de células mortas reconhecidas corretamente e o tempo de execução para cada grupo de imagem original, reduzida em 50% e 25%.

3.1. Melhorando a imagem

Um consenso nos artigos usados como parâmetro para construção desse algoritmo é um método de melhoramento de contraste que deve ser implementado antes da segmentação, pois as imagens médicas possuem baixo nível de contraste. Foi usado dois algoritmos nos testes para obter o melhor.

Contrast Stretching [5] – aumenta o contraste e controla a curva de função, M é a linha média que usamos para mudar os valores escuros para valores claros. $\text{np.spacing}(1)$ é uma constante que é a distância entre 1 e o próximo maior número.

```
def contrast_stretching(img, E):  
  
    img = cv2.cvtColor(img, cv2.COLOR_BGR2GRAY)  
    _mean = img.reshape((img.shape[0]*img.shape[1], 1)).mean(axis=0)  
    M = _mean  
    cs = 1 / ( 1 + (M / (img + np.spacing(1))) ** E)  
    return np.float32(cs)
```

Partial Contrast Stretching [9] – Função de mapeamento linear que é usada para melhorar o contraste. Essa técnica é baseada no brilho e contraste original da imagem para fazer o ajuste.

r_max , b_max e g_max são os valores máximos de cada canal de cor Vermelho, azul e verde respectivamente. Assim como r_min , b_min e g_min são os valores mínimos de cada canal de cor. $minTH$ é a média dos valores mínimos e $maxTH$ a média dos valores máximos.

```
def pcs(img, tx = 0.1):  
  
    r, g, b = cv2.split(cv2.cvtColor(img, cv2.COLOR_BGR2RGB))  
    r_min = r.reshape((r.shape[0]*r.shape[1], 1)).min(axis=0)  
    g_min = g.reshape((g.shape[0]*g.shape[1], 1)).min(axis=0)  
    b_min = b.reshape((b.shape[0]*b.shape[1], 1)).min(axis=0)  
    r_max = r.reshape((r.shape[0]*r.shape[1], 1)).max(axis=0)  
    g_max = g.reshape((g.shape[0]*g.shape[1], 1)).max(axis=0)  
    b_max = b.reshape((b.shape[0]*b.shape[1], 1)).max(axis=0)  
    minTH = (r_min + g_min + b_min)/3  
    maxTH = (r_max + g_max + b_max)/3  
    NminTH = minTH - minTH * tx  
    NminTH = 0 if NminTH < 0 else NminTH  
    NmaxTH = maxTH + (255 - maxTH) * tx  
    NmaxTH = 255 if NmaxTH > 255 else NmaxTH
```

```

img = cv2.cvtColor(img, cv2.COLOR_BGR2GRAY)
_min = img.reshape((img.shape[0]*img.shape[1], 1)).min(axis=0)
output = np.zeros_like(img)

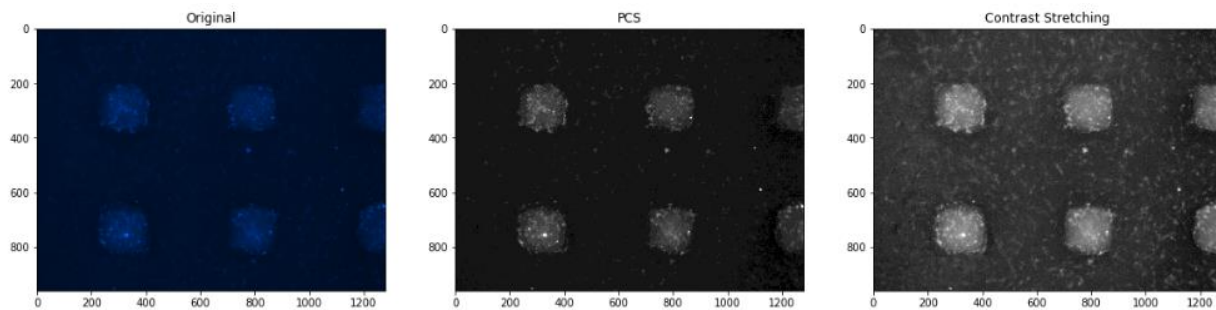
for x in range(img.shape[0]):
    for y in range(img.shape[1]):

        if img[x, y] > minTH :
            output[x,y] = (img[x,y]/minTH) * NminTH
        elif minTH <= img[x, y] and img[x, y] <= maxTH :
            output[x,y] = ((NmaxTH - NminTH)/(maxTH - minTH)) * (img[x,y]
] - _min)) + _min
        elif img[x, y] < maxTH :
            output[x,y] = (img[x,y]/maxTH) * maxTH

return output

```

Após alguns testes obtivemos que a função PCS obteve melhor resultado para melhorar o contraste de imagens coloridas, que é o nosso caso. Reduzindo o ruído do que não é microambiente na imagem.



Depois foi usada mais uma função para melhorar a imagem, antes de submeter a segmentação do KMeans. A função log transformation [4] pode ser usada para clarear as intensidades de uma imagem (como a Transformação Gama, onde $\gamma < 1$). Mais frequentemente, é usado para aumentar o detalhe (ou contraste) de valores de intensidade mais baixos.

```

def log_transformation(constant, image):

    return constant * (np.log(1 + np.float32(image)))

```

Observando que, em comparação com outros métodos testados e com a imagem processada apenas pelo PCS, tivemos uma redução no tempo de segmentação da imagem pelo KMeans quando usamos a função log_transformation. Esse fator é muito importante já que iremos processar muitas imagens.

3.2. KMeans

O passo seguinte foi usar a biblioteca do Sklearn para segmentar a imagem pré processada e usar o resultado para criar uma máscara que será usada para encontrar os microambientes.

Para isso criamos a seguinte função

```

def kmeans(image):
    shape_2 = 1 if len(image.shape) == 2 else image.shape[2]

```

```

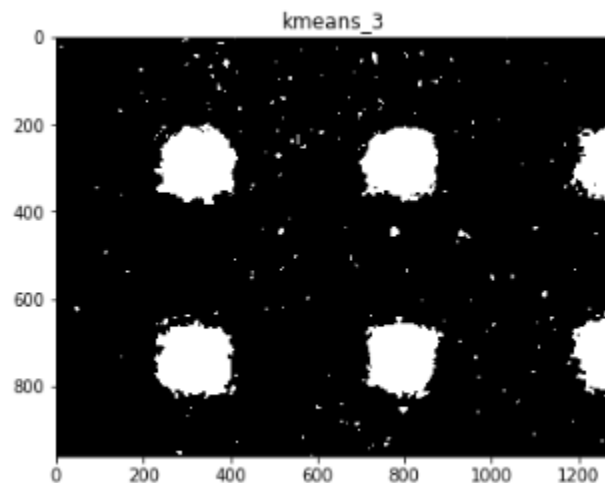
reshaped = image.reshape(image.shape[0] * image.shape[1], shape_2)
kmeans = KMeans(n_clusters=2, n_init=40, max_iter=500).fit(reshaped)
clustering = np.reshape(np.array(kmeans.labels_, dtype=np.uint8), (image.shape[0], image.shape[1]))

all_black = True
for i in range(len(clustering)):
    if clustering[i][0] == 1:
        all_black = False
        break

if(not all_black):
    ret, thresh2 = cv2.threshold(clustering, 127, 255, cv2.THRESH_BINARY_I
NV)
    clustering = thresh2

return clustering

```



e – Resultado da segmentação de uma imagem do dataset

3.3. Identificando microambientes

Nessa etapa, foi usado visão computacional, com a biblioteca openCV, para identificar os microambientes. Usamos o retorno do método Kmeans para criar uma elipse para cada microambiente, destacados em branco e a partir deles criar mascaras que pudessem remover da imagem original somente os microambientes.

Segue abaixo o código da função.

```

def find_microenvironments(img2print, mask, type_img=1 ):
    mask = mask.copy()
    img2print = img2print.copy()
    _mask = np.zeros_like(img2print)
    microenvironments = []

```

```

if type_img == 1:
    area_min = 3000
    count_cnt_min = 100
    plus = 50
    max_r = 200
    text_size = 5
elif type_img == 2:
    area_min = 1500
    count_cnt_min = 50
    plus = 25
    max_r = 100
    text_size = 2
elif type_img == 3:
    area_min = 300
    count_cnt_min = 10
    plus = 12
    max_r = 50
    text_size = 1

_, contours, hierarchy = cv2.findContours(mask, cv2.RETR_EXTERNAL, cv2.CHAIN_APPROX_SIMPLE)
for cnt in contours:
    area = cv2.contourArea(cnt)

    if area < area_min:
        continue

    if len(cnt) < count_cnt_min:
        continue
    '''
    if len(microenvironments) > 0 :
        continue
    '''

    _e = list(cv2.fitEllipse(cnt))

    #excluindo raios muito grandes
    if(_e[1][0] > max_r or _e[1][1] > max_r):
        continue

    #aumentando os raios da elipse para excluir algum erro.
    #print(area, len(cnt), _e[1])
    _e[1] = (_e[1][0] + plus, _e[1][1] + plus)
    ellipse = tuple(_e)

    mask = np.zeros_like(img2print)
    cv2.ellipse(mask, ellipse, (255,255,255), -1)
    masked = np.bitwise_and(img2print, mask)
    microenvironments.append(masked)
    cv2.ellipse(img2print, ellipse, (0,255,0), 4)
    cv2.putText(img2print,
                str(len(microenvironments) - 1),
                (int(ellipse[0][0]) - plus, int(ellipse[0][1])),
                cv2.FONT_HERSHEY_SIMPLEX,
                text_size,

```

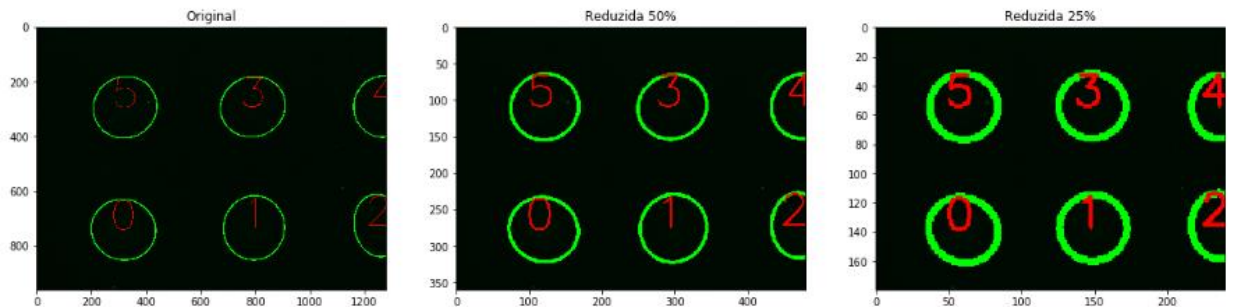
```

        255,
        2)
    cv2.ellipse(_mask, ellipse, (255,255,255), -1)

    return (microenvironments, img2print, _mask)

```

Após comparar os resultados, identificamos que o algoritmo usando Kmean para segmentar e identificar os microambientes obteve sucesso em ambos os grupos de imagens, tanto na imagem original quanto nas reduzidas.



d – Comparação entre imagem original e reduzidas

3.4. Identificando células mortas

No diagnóstico de células mortas, é usado um reagente que dá destaque às células, como visto anteriormente. A função anterior nos forneceu uma imagem para cada microambiente, com isso é possível agora usar também visão computacional para identificar os pontos que se destacam em cada microambiente.

Essa função irá identificar as células mortas em cada microambiente e armazenar em um dataframe, para que possa dar um retorno mais prático, um arquivo csv por exemplo, para o pesquisador que for usar o algoritmo em análises futuras.

A seguir o algoritmo que identifica as células mortas em cada microambiente.

[illegible]

```

_masked = cv2.cvtColor(m, cv2.COLOR_BGR2GRAY)
#blur = cv2.medianBlur(_masked,5)
ret,thresh1 = cv2.threshold(_masked,20,255,cv2.THRESH_TOZERO) #THRESH
_TOZERO      THRESH_BINARY

_, contours, hierarchy = cv2.findContours(thresh1, cv2.RETR_EXTERNAL,
cv2.CHAIN_APPROX_SIMPLE)
cells = 0
for cnt in contours:
    area = cv2.contourArea(cnt)
    #print(k, cnt.shape)
    if(cnt.shape[0] < 5):
        continue

    #print(k, i)
    ellipse = cv2.fitEllipse(cnt)
    cv2.ellipse(m, ellipse, (0,255,0), 4)
    #plt.imshow(m)
    cells += 1

    row[i+1] = cells
    #print('{} Microambiente {}; {} células mortas encontradas'.format(k,
i, cells))

df.loc[len(df)] = row

```

Após executar o algoritmo, foi possível observar que o mesmo consegue identificar as células mortas nos microambientes gerados a parti da imagem original, as imagens reduzidas não tiveram o mesmo sucesso em encontrar as células mortas.

| | MICROAMBIENTE | me 0 | me 1 | me 2 | me 3 | me 4 | me 5 | me 6 | me 7 | me 8 | me 9 |
|---|---------------|------|------|------|------|------|------|------|------|------|------|
| 0 | Original | 0 | 1 | 0 | 0 | 0 | 1 | - | - | - | - |
| 1 | Reduzido 50% | 0 | 0 | 0 | 0 | 0 | 1 | - | - | - | - |
| 2 | Reduzido 25% | 0 | 0 | 0 | 0 | 0 | 0 | - | - | - | - |

4. Resultados

O algoritmo acima, foi testado com varias imagens individualmente para ajustar alguns parâmetros. Depois dos testes, todas as imagens do dataset foram submetidas ao algoritmo.

Após o retorno do algoritmo, considero o objetivo alcançado pois como premissa tínhamos a automatização dessa tarefa, que se mostrou possível fazendo uso da segmentação de imagens com KMeans e com visão computacional, com ajuda da biblioteca openCV.

Abaixo segue a tabela com a contagem de todas as células mortas em cada imagem do dataset.

| MICROAMBIENTE | me 0 | me 1 | me 2 | me 3 | me 4 | me 5 | me 6 |
|---------------|------|------|------|------|------|------|------|
| 1 | 0 | - | - | - | - | - | - |
| 2 | 0 | 1 | 0 | 0 | 0 | 0 | - |
| 3 | 14 | 5 | 0 | 0 | 0 | 4 | - |
| 4 | - | - | - | - | - | - | - |
| 5 | 0 | 1 | 0 | - | - | - | - |
| 6 | 0 | 0 | 0 | - | - | - | - |
| 7 | 0 | - | - | - | - | - | - |
| 8 | 0 | 0 | 0 | 1 | 0 | - | - |
| 9 | 0 | 0 | 2 | 1 | 0 | 0 | 3 |
| 10 | 0 | 0 | 0 | 0 | 3 | 0 | - |
| 11 | 0 | 0 | 0 | 0 | 1 | 1 | 0 |
| 12 | 0 | 0 | 0 | 0 | 0 | 0 | 1 |
| 13 | 0 | 1 | 0 | 0 | 2 | 3 | - |
| 14 | 0 | 0 | 2 | - | - | - | - |
| 15 | 1 | 0 | 1 | 0 | 1 | - | - |
| 16 | 2 | 0 | 0 | 0 | - | - | - |
| 17 | 2 | 0 | 4 | 0 | - | - | - |
| 18 | 0 | 1 | 0 | 0 | 0 | - | - |
| 19 | 0 | 0 | 0 | 0 | - | - | - |
| 20 | - | - | - | - | - | - | - |
| 21 | 0 | 0 | 1 | - | - | - | - |
| 22 | 0 | 0 | 0 | 0 | 0 | - | - |
| 23 | 1 | 0 | 0 | 0 | - | - | - |
| 24 | 2 | 0 | 0 | 1 | - | - | - |
| 25 | 0 | 0 | 0 | 0 | 1 | 0 | - |

| | | | | | | | |
|----|---|---|---|---|---|---|---|
| 26 | 0 | 0 | 0 | 0 | 0 | - | - |
| 27 | 0 | 0 | 0 | 0 | 0 | 1 | - |
| 28 | 0 | 0 | 1 | 0 | - | - | - |
| 29 | 0 | 0 | 0 | 0 | 1 | 0 | - |
| 30 | 3 | 1 | 0 | - | - | - | - |
| 31 | - | - | - | - | - | - | - |
| 32 | 0 | 0 | 0 | 0 | - | - | - |
| 33 | 0 | 0 | 0 | 1 | 0 | 0 | - |
| 34 | 0 | 0 | 0 | 0 | 1 | 0 | - |
| 35 | 0 | 0 | - | - | - | - | - |
| 36 | 1 | 1 | 1 | 0 | - | - | - |
| 37 | - | - | - | - | - | - | - |
| 38 | - | - | - | - | - | - | - |
| 39 | 1 | 1 | 0 | 0 | - | - | - |
| 40 | 1 | 1 | 0 | 0 | 1 | 0 | - |
| 41 | - | - | - | - | - | - | - |
| 42 | 0 | 0 | 0 | 0 | - | - | - |
| 43 | 0 | 0 | 1 | - | - | - | - |
| 44 | 1 | 1 | 0 | 0 | 0 | - | - |
| 45 | 2 | 0 | 1 | 0 | 1 | 0 | - |
| 46 | 0 | 1 | 0 | 0 | 1 | 0 | - |
| 47 | 1 | 0 | 5 | 0 | 0 | 2 | - |
| 48 | - | - | - | - | - | - | - |
| 49 | - | - | - | - | - | - | - |
| 50 | 0 | 0 | 0 | 0 | 0 | 1 | - |
| 51 | 1 | 0 | 0 | 0 | 0 | 0 | - |
| 52 | 0 | 0 | 0 | 1 | - | - | - |
| 53 | 0 | 1 | 0 | 0 | 0 | 0 | - |
| 54 | - | - | - | - | - | - | - |
| 55 | 0 | 0 | 0 | 0 | 0 | 0 | - |
| 56 | 1 | 0 | 0 | 0 | - | - | - |
| 57 | 1 | - | - | - | - | - | - |
| 58 | 0 | 0 | 0 | - | - | - | - |
| 59 | 4 | 0 | 0 | - | - | - | - |
| 60 | 0 | 0 | - | - | - | - | - |
| 61 | 0 | 0 | 1 | 0 | 3 | - | - |
| 62 | 0 | 1 | 2 | 1 | 0 | 0 | - |
| 63 | - | - | - | - | - | - | - |

5.Referencias

1. https://www.researchgate.net/publication/283185016_Image_Segmentation_Using_K-means_Clustering_Algorithm_and_Subtractive_Clustering_Algorithm
2. <https://docplayer.net/22673363-Colour-image-segmentation-approach-for-detection-of-malaria-parasites-using-various-colour-models-and-k-means-clustering.html>
3. https://docs.opencv.org/3.4.0/d7/d4d/tutorial_py_thresholding.html
4. <https://medium.com/@sonu008/image-enhancement-contrast-stretching-using-opencv-python-6ad61f6f171c>
5. <http://www.cs.uregina.ca/Links/class-info/425/Lab3/>
6. https://www.researchgate.net/publication/224227539_Improving_colour_image_segmentation_on_acute_myelogenous_leukaemia_images_using_contrast_enhancement_techniques
7. <http://www.indjst.org/index.php/indjst/article/viewFile/111353/78453>
8. https://www.researchgate.net/publication/263618841_Colour_Image_Segmentation_Using_Unsupervised_Clustering_Technique_for_Acute_Leukemia_Images
9. http://interscience.in/IJPPT_Vol2Iss1/29-34.pdf